

## کاربرد مدل‌های نفوذ رودخانه‌ای برای شبیه‌سازی نفوذ آب در حوضچه‌های کنترل سیالاب شهری

سعیدرضا خداداشناس<sup>۱</sup>

(دریافت ۸۶/۱/۱۹ پذیرش ۸۶/۱/۲۴)

### چکیده

در میان روش‌های کنترل سیالاب شهری، روش نفوذ آب باران به زمین یکی از مهم‌ترین روش‌ها برای جلوگیری از خسارات سیل است. مدل‌های مفهومی نفوذ رودخانه‌ای برای کاربرد در مطالعات کنترل سیالاب شهری به خصوص در حوضچه‌های نفوذ بسیار مفیداند. برخلاف مدل‌های ریاضی این مدل‌ها بسیار ساده‌تر هستند و همچنین برخلاف مدل‌های تجربی، تعیین پارامترهای این مدل‌ها نیز به مراتب آسان تر است. در این تحقیق چهار مدل مفهومی نفوذ رودخانه‌ای که عبارت‌اند از مدل‌های دوپویی-فورشهایمر، ارنست، میلس و مورل-سیتوکس برای شبیه‌سازی نفوذ در حوضچه‌های نفوذ کنترل سیالاب شهری استفاده شد. مطالعه روی این چهار مدل نشان داد که هیدروگراف‌های نفوذ به دست آمده از مدل‌ها نزدیک هیدروگراف‌های واقعی می‌باشند و این مدل‌ها در شبیه‌سازی رفتار حوضچه نفوذ جوابهای قابل قبولی می‌دهند. نتایج همچنین نشان داد که سه مدل دوپویی-فورشهایمر، ارنست و میلس نسبت به مدل چهارم نسبت به پارامترهایشان کمتر حساسیت دارند.

واژه‌های کلیدی: روش‌های جایگزین، سیالاب شهری، مدل نفوذ، مدل مفهومی، شبیه‌سازی.

## Application of River Infiltration Models to Simulation of Infiltration Process in Infiltration Basins

Saeedreza Khodashenas<sup>1</sup>

(Received Apr. 8, 2007 Accepted Feb. 13, 2008)

### Abstract

Among the alternative techniques available for flood control, infiltration of rainwater is one of the most important methods to control stormwater effects. Conceptual river infiltration models are very useful for application to control urban flood water, especially in the case of infiltration basins. Contrary to mathematical models, these models are very simple, and unlike empirical models, their parameters are very easy to calculate. Four selected models (Dupuit-Forchheimer, Ernst, Miles and Morel-Seytoux) were employed for simulation of the infiltration process in infiltration basins. The study showed that the hydrograph computed by these models were closely similar to the real hydrograph. The three models (Dupuit-Forchheimer, Ernst, and Miles) showed far lower sensitivity to their parameters than the Morel- Seytoux one.

**Keywords:** Alternative Techniques, Urban Storm Water, Infiltration Models, Conceptual Models, Simulation.

1. Assis. Prof. of Water Engineering Dept., Ferdowsi University of Mashad, saeedkhodashenas@yahoo.fr

۱- استادیار، گروه مهندسی آب، دانشگاه فردوسی مشهد، saeedkhodashenas@yahoo.fr

## ۱- مقدمه

مدل‌های مفهومی<sup>۷</sup> می‌باشند. این مدل‌ها ترکیبی از مدل‌های ریاضی و تجربی‌اند که علاوه بر سادگی به داده‌های اولیه کمتری نسبت به مدل‌های ریاضی نیاز دارند و اگر با شرایط مسئله واسنجی شوند نتایج قابل اطمینان‌تری نسبت به مدل‌های تجربی<sup>۸</sup> به دست می‌دهند.

## ۲- روش تحقیق

میزان نفوذ آب از یک رودخانه با استفاده از رابطه زیر به دست می‌آید

$$Q = \frac{I_s}{K} \times K \times W_s \quad (1)$$

که در آن:

$Q$  دبی نفوذ در واحد طول رودخانه ( $m^3/s/m$ ),  $I_s$  سرعت نفوذ آب ( $m/s$ ),  $K$  ضریب نفوذ پذیری خاک بستر رودخانه در حالت اشباع ( $m/s$ ) و  $W_s$  عرض سطح آب ( $m$ ) است. پارامتر  $\frac{I_s}{K}$  با استفاده از مدل‌های مختلف به صورت زیر تعیین می‌شود.

## ۲-۱- مدل دوپویی - فورشها یمر و مدل ارنست

در مدل‌های دوپویی - فورشها یمر و ارنست پارامتر  $\frac{I_s}{K}$  با توجه به پارامترهای نشان داده شده در شکل ۱ به ترتیب از روابط ۲ و ۳ به دست می‌آید [۱]

$$\frac{I_s}{K} = \frac{2D_w H_w + D_i - 0.5D_w}{W_s \left(1 - 0.25(W_b + W_s)\right)} \quad (2)$$

$$\frac{I_s}{K} = \frac{\frac{D_w}{W_s}}{\frac{1}{2(D_i + H_w - 0.5D_w)} + \frac{D_w}{1} + \frac{1}{\pi} \ln \frac{4(D_i + H_w)}{\pi W_s}} \quad (3)$$

<sup>5</sup> Miles

<sup>6</sup> Morel -Seytoux

<sup>7</sup> Conceptual Models

<sup>8</sup> Empirical Models

سیال‌بها هر ساله خسارات بسیار زیادی به مناطق شهری وارد می‌آورند. از آنجایی که پوشش زمین و پشت بامها در مناطق شهری اغلب نفوذ ناپذیرند، زمان تمرکز سیالاب به شدت کاهش یافته و حجم سیالاب افزایش می‌یابد. روش‌های کلاسیک که بیشتر مبتنی بر استفاده از شبکه‌های جمع‌آوری آب سطحی می‌باشند ممکن است تا حدودی مشکل مناطق بالادست شهری را حل نمایند ولی باعث سیالاب شدن مناطق پایین دست (که معمولاً شبکه آنچا قدیمی‌تر و با ابعاد کمتر است) می‌شوند و از طرفی گسترش شهر به سمت بالادست باید همراه با ترمیم و تغییر ابعاد شبکه‌های پایین دست باشد که انجام آن بسیار گران تمام خواهد شد.

در روش‌های نوین کنترل سیال‌بها شهری، سعی بر نگاهداشت سیالاب بدون تأثیرگذاری مخرب آن است و نه دفع سریع آن. این روش‌ها که به روش‌های جایگزینی<sup>۱</sup> موسماند با استفاده از نگهداری، ذخیره و نفوذ آب به زمین، تا حد زیادی هزینه کنترل سیالاب شهری را کاهش می‌دهند. در این روش‌ها علاوه بر تغذیه آبهای زیرزمینی، خدمات به مناطق پایین دست کاهش می‌یابد. با توجه به نوع عملکرد، روش کنترل سیالاب می‌تواند ذخیره یا نفوذ و یا هر دو باشد. در طراحی و ساخت روش‌های جایگزینی نیاز به استفاده از مدل‌های نفوذ می‌باشد. انتخاب یک مدل نفوذ که ضمن داشتن دقیق قابل قبول، نیاز به داده‌های اولیه کم و قابل دسترسی داشته باشد حائز اهمیت است.

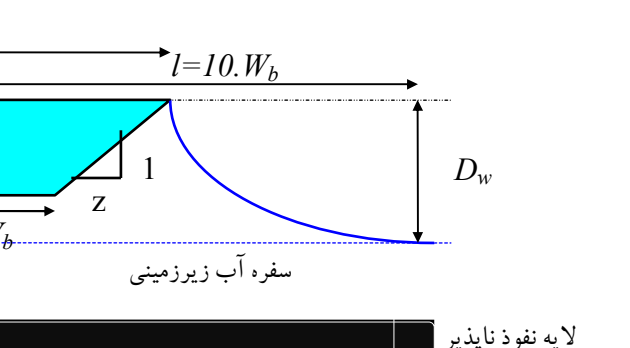
هدف این تحقیق بررسی نوعی از مدل‌های نفوذ است که برای تعیین نفوذ در رودخانه‌ها استفاده می‌شوند و همچنین دقت این مدل‌ها در شیوه‌سازی روند نفوذ در حوضچه‌های نفوذ مورد بررسی قرار می‌گیرد. مدل‌های مورد استفاده (مدل‌های دوپویی - فورشها یمر<sup>۲</sup>، ارنست<sup>۳</sup>، میلس<sup>۴</sup> و مورل - سیتوکس<sup>۵</sup>) از نوع

<sup>1</sup> Alternative Techniques

<sup>2</sup> Dupuit

<sup>3</sup> Forchheimer

<sup>4</sup> Ernest



شکل ۱- شمای مورد استفاده در مدل‌های دوپویی - فورشها یمر و ارنست

$$C_d = \frac{W_p + 2}{10W_p + 1} \quad (8)$$

$$C_d = \frac{5[0.25(W_s + W_b) + H_w]}{D_i + H_w} \quad (9)$$

نویسنده برای بررسی صحت مدل‌ها از نتایج آزمایش‌های یک حوضچه نفوذ در شهر ونسیو فرانسه به عنوان مدل نمونه<sup>۱</sup> استفاده شد. این حوضچه آب باران حوضه آبریزی در حدود ۳۰۰ هکتار را دریافت می‌کند. شکل ۳ شمایی ساده از این حوضچه را نشان می‌دهد. دو قسمت اصلی این تأسیسات عبارت‌اند از حوضچه نگهداری ته‌نشینی و حوضچه نفوذ. هر دو مخزن نگهداری ته‌نشینی و نفوذ تقریباً ذوزنقه‌ای شکل هستند. ابعاد تقریبی مخزن نگهداری ته‌نشینی و نفوذ هر ۶ دقیقه یکبار و به صورت خودکار توسط رایانه انجام گردید. بنابراین دبی نفوذ لحظه‌ای در هر زمان قابل محاسبه است.

<sup>1</sup> Pilot

## ۲-۲- مدل مورل- سیتوکس و مدل میلس

در مدل‌های مورل- سیتوکس و میلس محیط رودخانه مطابق شکل ۲ به دو بخش تقسیم می‌شود [۲ و ۳]. قسمت(I) در نزدیکی رودخانه و با جریانی به شکل منحنی می‌باشد. طول قسمت  $l_1$  از رابطه  $4$  به دست می‌آید و پارامتر  $\frac{l_s}{K}$  در منطقه I و II به ترتیب از روابط ۵ و ۶ محاسبه می‌شوند.

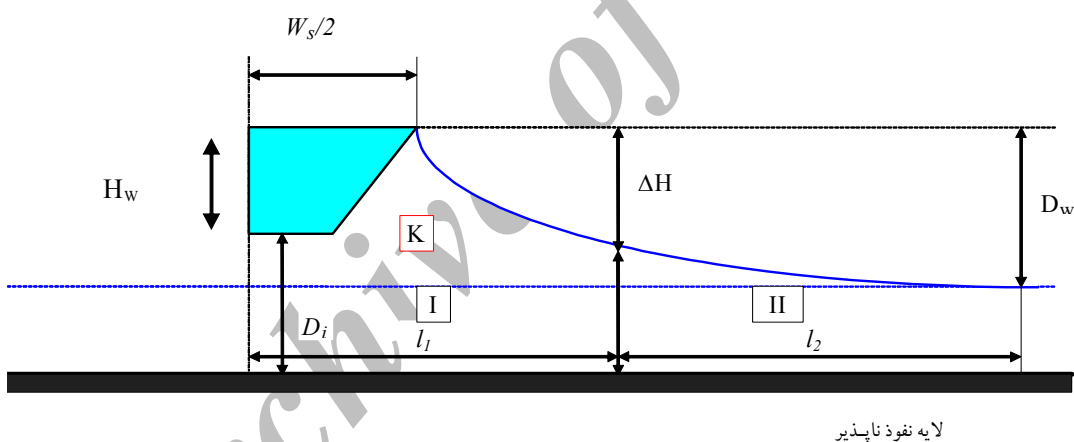
$$l_1 = \frac{1}{2}(W_s + H_w + D_i) \quad (4)$$

$$\left(\frac{l_s}{K}\right)_I = \frac{2C_d \Delta H}{W_s} \quad (5)$$

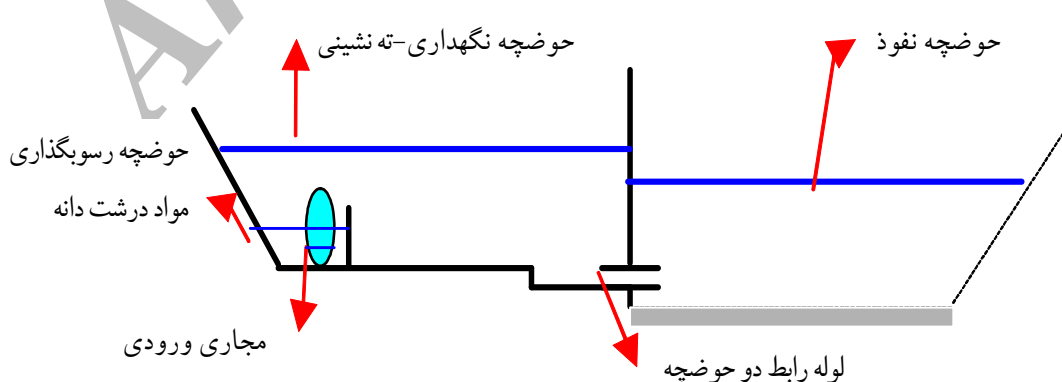
$$\left(\frac{l_s}{K}\right)_{II} = \frac{2(D_w - \Delta H)}{W_s l_2} [H_w + D_i - 0.5(D_w + \Delta H)] \quad (6)$$

$$W_p = \frac{P}{D_i + H_w - \Delta H} \quad (7)$$

که در این روابط،  $P$  محیط خیس شده (m) و پارامتر  $C_d$  با استفاده از مدل مورل- سیتوکس و مدل میلس به ترتیب از روابط ۸ و ۹ به دست می‌آید.  $\Delta H$  از طریق سعی و خطای هنگامی که  $\left(\frac{l_s}{K}\right)_{II} = \left(\frac{l_s}{K}\right)_I$  به دست می‌آید.



شکل ۲- شمای مورد استفاده در مدل‌های مورل- سیتوکس و میلس



شکل ۳- شمای حوضچه نفوذ مورد استفاده برای آزمایش مدل‌ها

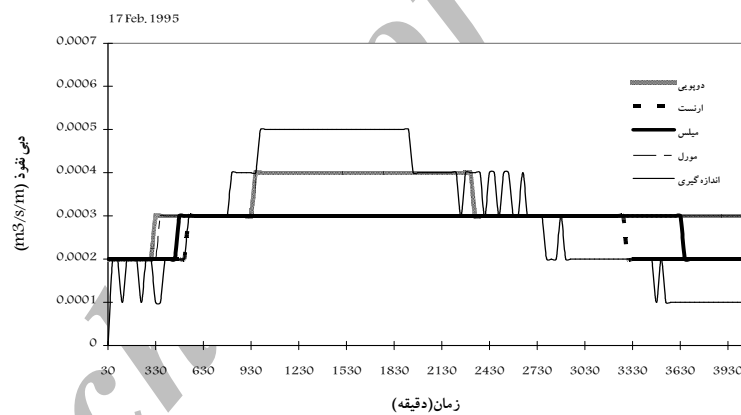
### ۳- نتایج و بحث

برای بررسی مدل‌ها، داده‌های نه واقعه بارش در سال ۱۹۹۵ مورد استفاده قرار گرفت و نتایج مدل‌ها با نتایج اندازه‌گیری‌ها مقایسه شد. با استفاده از دو معیار آماری اختلاف بین نتایج و اندازه‌گیری‌ها به دست آمد. معیار اول مجذور مربعات اختلافات ( $E_1$ ) و جدول ۲ میانگین مقادیر یک پارامتر بی بعد است و معیار دوم میانگین مجذور مربعات اختلافات ( $E_2$ ) (رابطه ۱۰) است. همچنین متوسط اختلافات برای نه واقعه بارش نیز محاسبه شد.

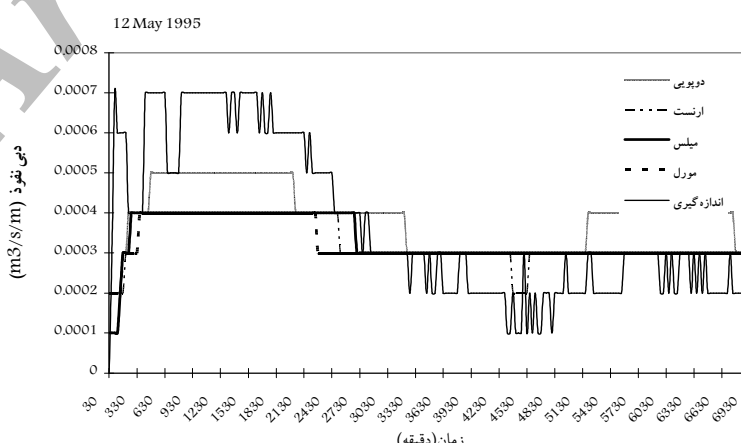
$$E_1 = \frac{[\sum (Q_{\text{mod}} - Q_{\text{mes}})^2]^{\frac{1}{2}}}{\sum Q_{\text{mes}}} \quad (10)$$

جدول ۱- مجذور مربعات اختلافات ( $E_1$ ) و میانگین مجذور مربعات اختلافات ( $E_2$ ) بین مدل‌ها و اندازه‌گیری‌ها

روز بارش دوازده ژوئن ۱۹۹۵																	مدل	
۱۹۹۵/۶/۱۲	۱۹۹۵/۶/۹	۱۹۹۵/۵/۲۵	۱۹۹۵/۵/۱۲	۱۹۹۵/۴/۲۱	۱۹۹۵/۳/۲۸	۱۹۹۵/۳/۸	۱۹۹۵/۲/۲۴	۱۹۹۵/۲/۱۷	E <sub>2</sub>	E <sub>1</sub>								
۱/۲	۰/۰	۲/۸	۰/۲	۰/۸	۰/۰	۱/۶	۰/۰	۰/۳	۰/۰	۲/۴	۰/۱	۲/۳	۰/۲	۰/۹	۰/۰	۰/۸	۰/۰	
۰/۹	۰/۰	۲/۳	۰/۲	۰/۹	۰/۰	۱/۸	۰/۰	۵/۶	۰/۰	۲/۴	۰/۱	۱/۷	۰/۱	۰/۶	۰/۰	۰/۹	۰/۰	
۰/۹	۰/۰	۲/۵	۰/۲	۰/۹	۰/۰	۱/۷	۰/۰	۵/۵	۰/۰	۲/۴	۰/۱	۱/۹	۰/۱	۰/۷	۰/۰	۰/۸	۰/۰	
۱/۰	۰/۰	۲/۷	۰/۲	۱/۰	۰/۰	۱/۹	۰/۰	۵/۹	۰/۰	۲/۴	۰/۱	۲/۱	۰/۱	۰/۷	۰/۰	۱/۰	۰/۰	



شکل ۴- مقایسه هیدرولوگراف‌های به دست آمده از اندازه‌گیری و مدل‌ها در تاریخ ۱۷ فوریه ۱۹۹۵



شکل ۵- مقایسه هیدرولوگراف‌های به دست آمده از اندازه‌گیری و مدل‌ها در تاریخ دوازدهم می ۱۹۹۵

مدل اغلب هیدروگراف‌های نفوذ تقریباً خطی دارند. با بازه زمانی بزرگ (۳۰ دقیقه) هیدروگراف نفوذ مدل‌ها به هیدروگراف واقعی نزدیک‌تر است. نتایج به دست آمده نشان می‌دهد که اختلاف بین نتایج مدل و مقادیر واقعی کم است. این تحقیق نشان داد که استفاده از این مدل‌ها برای طراحی حوضچه‌های نفوذ کنترل سیالاب شهری مناسب می‌باشدند. در این میان سه مدل دوپویی - فورشهایمر، ارنست و میلس مناسب‌تراند چون ارنست به پارامترهای شان کمتر حساس‌اند. از مزیتهای مهم این مدل‌ها آن است که پارامترهای این مدل‌ها به راحتی می‌توانند به دست آیند.

جدول ۲- میانگین اختلافات بین مدل‌ها و اندازه‌گیری‌ها

در نه اندازه‌گیری

$E_2 \times 10^{-5}$	$E_1$ (درصد)	مدل
۲/۰۴	۹	دوپویی - فورشهایمر
۱/۹۴	۸	ارنست
۱/۹۷	۸	میلس
۲/۱۳	۹	مورل - سیتوکس

#### ۴- نتیجه گیری

مطالعه انجام شده توسط نویسنده، روی چهار مدل نفوذ پذیری رودخانه‌ای انتخاب شده (دوپویی - فورشهایمر، ارنست، مورل - سیتوکس و میلس) با داده‌های نه واقعه بارش نشان داد که چهار

#### ۵- مراجع

- 1- Haydarzadeh, M. (1993). *Deformation des modeles debit-duree-Fréquence dans un bassin avec échanges Nappe-Rivière acitifs. ou actiuables*, Rapport de DEA, Université Joseph Fourier, Grenoble, France.
- 2- Morel-Seytoux, H. J., Peters, G., and Illangasekare, T. (1979). "Field verification of the concept of reach transmissivity." *IAHS-AISH*, 128, 355-359.
- 3- Miles , J. C. (1985). "The representation of flows to partially penetrating rivers using groundwater flow models." *Journal of Hydrology*, 82, 341-355.